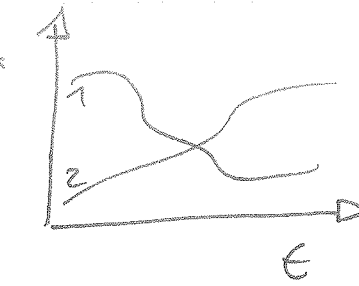


# Tafel zu Kap. 7

Klassische Mechanik



durch  $x$  und  $P$   
sind Teilchen  
aufgrund ihrer  
Anfangsbedingung  
unterscheidbar

QM Vertauschung für zwei Teilchen

$$P \Psi(\vec{r}_1, \vec{r}_2) = \Psi(\vec{r}_2, \vec{r}_1)$$

Projektion auf symmetrischen Teilraum:

$$S = \frac{1}{2} (1 + P)$$

Projektor (nicht normierend)

$$S\Psi = [\Psi(\vec{r}_1, \vec{r}_2) + \Psi(\vec{r}_2, \vec{r}_1)]/2$$

$$PS\Psi = \frac{1}{2} (P + P^2) \Psi = (+1)S\Psi$$

$S$  ist Projektor, da

$$S^2 = \frac{1}{4} (1+P)(1+P) = \frac{1}{2} \cdot \frac{1}{2} (1+P+P+P^2) = S \text{ qed}$$

Projektion auf antisymmetrischen Teilraum

$$A = \frac{1}{2} [1 - P]$$

$$A\Psi = \frac{1}{2} [\Psi(\vec{r}_1, \vec{r}_2) - \Psi(\vec{r}_2, \vec{r}_1)]$$

$$PA\Psi = \frac{1}{2} [P - P^2] = \underbrace{(-1)}_{\text{EW zu } P} A\Psi$$

$$A^2 = \frac{1}{4} (1-P)^2 = A \text{ d.h. } A \text{ Projektor}$$

Verallgemeinerung auf  $N$  Teilchen

$$S = \frac{1}{N!} \sum_P P \quad \text{Summe über alle Permutationen}$$

$$A = \frac{1}{N!} \sum_P \underbrace{(-1)^{\#P}}_{\begin{array}{l} \pm 1 \text{ für } \\ \text{gerade ungerade} \end{array}} P$$

(1)

für irgendeine Permutation  $P_0$

$$P_{P_0} S = \frac{1}{N!} \sum_P P_{P_0} P_P = \frac{1}{N!} \sum_{P'} P_{P'} = S$$
$$\Rightarrow P_{P_0} S \neq (-1) S \neq$$

$$P_{P_0} A = \frac{1}{N!} \sum_P P_{P_0} (-1)^{n_P} P_P$$
$$= \frac{1}{N!} (-1)^{n_{P_0}} \sum_P (-1)^{n_P + n_{P_0}} P_{P_0} P_P$$
$$= \frac{1}{N!} (-1)^{n_{P_0}} \sum_{P'} P_{P'} (-1)^{n_{P'}} = (-1)^{n_{P_0}} A$$
$$\Rightarrow P_{P_0} A \neq (-1)^{n_{P_0}} A \neq$$

Des Weiteren kann man zeigen, dass  $S^2 = S$ ,  $A^2 = A$ ,  $SA = 0$   
(s. Übung)

## 7.2) Hartree und Hartree-Fock-Approximation

Nicht wechselwirkende Elektronen:

$$H_0 = \sum_i -\frac{\hbar^2 \Delta_i}{2m} + \sum_i V(\vec{r}_i)$$

wird von Produktansatz

$$\Psi(\vec{r}_1 \dots \vec{r}_N) = \prod_{i=1}^N \varphi_{\alpha_i}(\vec{r}_i) \text{ gelöst}$$

$$\text{mit } \left[ -\frac{\hbar^2 \Delta}{2m} + V(\vec{r}) \right] \varphi_{\alpha_i} = E_i \varphi_{\alpha_i}$$

$$\Rightarrow H_0 \Psi = \underbrace{\sum_i E_i}_{\sum_i E_i} \Psi$$

Pauli-Prinzip lößt sich verwirren, indem man keinen Zustand  $\alpha_i$  doppelt besetzt. Das liefert aber noch nicht vollständig antisymmetrische WF.

$$\text{d.h. } \underline{\text{nicht}} \quad \Psi(\vec{r}_1 \dots \vec{r}_i \dots \vec{r}_j \dots \vec{r}_N) = (-1) \Psi(\vec{r}_1 \dots \vec{r}_j \dots \vec{r}_i \dots \vec{r}_N) \quad (2)$$

Hartree-Näherung für  $H = H_0 + \sum_{i,j} \int d^3r_i \delta_{\alpha_i}(\vec{r}_i) V(|\vec{r}_i - \vec{r}_j|)$

Biale Einteilchen-(Hartree)-Produktdausatz  $\Psi_H = \prod_{i=1}^N \delta_{\alpha_i}(\vec{r}_i)$   
und optimiere  $\delta_{\alpha_i}$  nach Ritzschen Variationsprinzip  
( $\delta_{\alpha_i}$  auf 1 normiert)

Hartree-Energie

$$E = \langle \Psi_H | H | \Psi_H \rangle$$

$$= \sum_i \int d^3r \delta_{\alpha_i}^*(\vec{r}) \left( -\frac{\hbar^2 \Delta}{2m} + V(\vec{r}) \right) \delta_{\alpha_i}(\vec{r}) + \sum_{i \neq j} \int d^3r \int d^3r' \delta_{\alpha_i}^*(\vec{r}) \delta_{\alpha_j}^*(\vec{r}') V(|\vec{r} - \vec{r}'|) \delta_{\alpha_i}(\vec{r}) \delta_{\alpha_j}(\vec{r}')$$

Minimierung:

$$\frac{\delta}{\delta \delta_{\alpha_i}^*} \left\{ \langle \Psi | H | \Psi \rangle - \underbrace{\sum_i (\epsilon_{\alpha_i} \langle \delta_{\alpha_i}^* | \delta_{\alpha_i} \rangle - 1)}_{\substack{\text{Lagrange-Parameter} \\ \text{Normierung als} \\ \text{Zwangbedingung}}} \right\} = 0$$

Normierung als  
Zwangbedingung

$\Rightarrow$  Hartree-Glg.

$$\left\{ \left[ -\frac{\hbar^2 \Delta}{2m} + V(\vec{r}) \right] + \sum_{j \neq i} \int d^3r' |\delta_{\alpha_j}(\vec{r}')|^2 V(|\vec{r} - \vec{r}'|) \right\} \delta_{\alpha_i} = \epsilon_{\alpha_i} \delta_{\alpha_i}$$

Zeitgemitteltes Potential  
der übrigen Teilchen

Wie ein Teilchen in

$$V_{eff}(\vec{r}) = V(\vec{r}) + \sum_{j \neq i} \int d^3r' |\delta_{\alpha_j}(\vec{r}')|^2 V(|\vec{r} - \vec{r}'|)$$

Hartree-Fock-Näherung:

Wie Hartree-Näherung aber jetzt mit antisymmetrisierter Wellenfunktion:

$$\Psi_{HF} = \sqrt{N!} \quad \Psi_H = \frac{1}{N!} \sum_p (-1)^{n_p} P \Psi_H$$

$\uparrow$   
korrekte Normierung

Auch schreibbar als Slater-Determinante

$$\Psi_{HF} = \frac{1}{N!} \begin{vmatrix} \delta_{\alpha_1}(\vec{r}_1) & \delta_{\alpha_1}(\vec{r}_2) & \dots & \delta_{\alpha_N}(\vec{r}_N) \\ \delta_{\alpha_2}(\vec{r}_1) & & & \\ \vdots & & & \\ \delta_{\alpha_N}(\vec{r}_1) & \delta_{\alpha_N}(\vec{r}_2) & \dots & \delta_N(\vec{r}_N) \end{vmatrix} \quad (3)$$

## Hartree-Fock-Energie

$$E = \langle \Psi_{HF} | H | \Psi_{HF} \rangle$$

$$\begin{aligned} &= \sum_i \int d^3r \, \varphi_{\alpha_i}^*(\vec{r}) \left[ -\frac{\hbar^2 \Delta}{2m} + V(\vec{r}) \right] \varphi_{\alpha_i}(\vec{r}) \\ &+ \frac{1}{2} \sum_{i \neq j} \int d^3r \int d^3r' \cup (\vec{r} - \vec{r}') |\varphi_{\alpha_i}(\vec{r})|^2 |\varphi_{\alpha_j}(\vec{r}')|^2 \\ &- \frac{1}{2} \sum_{i \neq j} \int d^3r \int d^3r' \cup (\vec{r} - \vec{r}') \varphi_{\alpha_i}^*(\vec{r}) \varphi_{\alpha_j}^*(\vec{r}') \varphi_{\alpha_i}(\vec{r}') \varphi_{\alpha_j}(\vec{r}) \end{aligned}$$

Minimierend  $\frac{\delta}{\delta \varphi_{\alpha_i}^*} \{ \langle \Psi_{HF} | H | \Psi_{HF} \rangle - \sum_i E_i (\int d^3r |\varphi_{\alpha_i}(\vec{r})|^2 - 1) \} = 0$

Liefert Hartree-Fock-Glg:

$$\begin{aligned} &\left[ -\frac{\hbar^2}{2m} \Delta + V(\vec{r}) + \sum_{j \neq i} \int d^3r' \cup (\vec{r} - \vec{r}') |\varphi_{\alpha_j}(\vec{r}')|^2 \right] \varphi_{\alpha_i}(\vec{r}) \\ &- \underbrace{\sum_{j \neq i} \int d^3r' \cup (\vec{r} - \vec{r}') \varphi_{\alpha_j}^*(\vec{r}') \varphi_{\alpha_i}^*(\vec{r}') \varphi_{\alpha_j}(\vec{r})}_{\text{Austausch-Term}} = E_{\alpha_i} \varphi_{\alpha_i}(\vec{r}) \end{aligned}$$

Beachte: Dies ist nur ein antisymmetrisierter Einzelchenansatz (konkret nur für  $U=0$  !)

Abweichungen von Hartree-Fock werden als "Korrelationen" zwischen den Teilchen bezeichnet.

Korrelationen führen auf:

- Massenrenormierung (Elementarteilchen- und Festkörperphysik) (Schwere Fermionen)
- Quantenkritikalität
- Supraleitung?
- Verschränkung QM Zustände

Einfachste WF, die über Hartree-Fock hinausgeht:

$$\Psi = \frac{1}{2} \left[ \psi_0(\vec{r}_1) \psi_1(\vec{r}_2) + \psi_1(\vec{r}_1) \psi_0(\vec{r}_2) - \psi_0(\vec{r}_1) \psi_2(\vec{r}_2) - \psi_2(\vec{r}_1) \psi_0(\vec{r}_2) \right] \quad (4)$$

### 7.3) Besetzungszahl-Formalismus und 2. Quantisierung

Gesucht: Basis für  $N$ -Teilchen-Hilbertraum  $\mathcal{H}_N = \mathcal{H}_1 \otimes \dots \otimes \mathcal{H}_1$

Gegeben:  $B_1 = \{|s_i\rangle\}$  Basis für Einteilchen-Hilbertraum

Ausatz wie bei Hartree Fock (aber i.A. lassen sich nur Basisfunktionen Bosonen konstruieren, nicht die S-Glg. lösen)

$$B_N = \left\{ \begin{array}{c} S \\ A \\ \uparrow \\ \text{Fermionen} \end{array} \frac{\sqrt{N!}}{\sqrt{n_1! \dots n_i!}} |s_{n_1}\rangle \dots |s_{n_N}\rangle \right\}$$

(beachte S.A.  
hat  $N!$ -Faktor  
 $n_i$ : fach  
besetzt)

$$\equiv |n_1, n_2 \dots n_i \dots \rangle$$

Besetzungszaehldarstellung

da Teilchen ununterscheidbar, ist Zustand eindeutig durch Besetzungen festgelegt

Bei Fermionen ändert sich allerdings das Vorzeichen, wenn man zwei Zustände in der Enumeration ändert, da  $A |s_1\rangle |s_2\rangle = -A |s_2\rangle |s_1\rangle$

$\underbrace{\text{Teilchen } 1}_{\text{Teilchen } 1, 2 \text{ ununterscheidbar}}, \underbrace{\text{Teilchen } 2}$

Die Besetzungszaehldarstellung ist die natürliche Darstellung ununterscheidbarer Teilchen, da jetzt nicht mehr Teilchen 1 im Zustand  $\alpha_1$ , Teilchen 2 in  $\alpha_2$  etc sondern nur noch  $n_1$  Teilchen in Zustand 1,  $n_2$  in Zustand 2 (egal welche Teilchen).

Ein allgemeiner Zustand  $|q\rangle \in \mathcal{H}_N$  ist dann schreibbar als

$$|q\rangle = \sum_{\substack{n_1, n_2 \dots \\ \text{mit } \sum_{i=1}^N n_i = N}} \lambda(n_1, n_2 \dots) |n_1, n_2 \dots \rangle$$

Wir wollen jetzt alle Operatoren in dieser Basis angeben

Bei gleicher Teilchenzahl gilt für das Skalarprodukt:

$$\langle n_1, n_2 \dots | n'_1, n'_2 \dots \rangle = \delta_{n_1, n'_1} \delta_{n_2, n'_2} \dots \quad \text{alle Besetzungen müssen gleich sein} \quad (5)$$

## 2. Quantisierung

Klass. Mech

QM

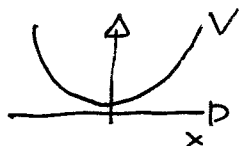
$$1. \text{ Quantisierung: } \vec{r}, \vec{p} \xrightarrow{\quad} \underbrace{\vec{r}, \frac{\partial}{\partial \vec{p}}}_{\text{Operatoren}}$$

$$2. \text{ Quantisierung: } \begin{array}{c} \vec{A} \\ \text{Felder} \end{array} \xrightarrow{\quad} a, a^+ \\ \psi \\ \text{WF} \xrightarrow{\quad} \underbrace{c, c^+}_{\text{Operatoren}}$$

Erinnerung:

$$\text{Harmonischer Operator: } H = \hbar \omega (a^+ a + \frac{1}{2})$$

$$|4_n\rangle = \frac{1}{\sqrt{n!}} (a^+)^n |0\rangle \quad \text{Grundzustand}$$



$$H|4_n\rangle = \hbar \omega (n + \frac{1}{2}) |4_n\rangle$$

am O

Kraft  $\sim -x$

Schwingungen eines an Ursprung wie mit Federkraft festgehaltenen Atoms.  
 $4_n$  bedeutet wir haben  $n$  Phononen

$$\text{Fock-Raum } \mathcal{H}^{\text{Fock}} = \mathcal{H}_0 \oplus \mathcal{H}_1 \oplus \mathcal{H}_2 \oplus \dots \mathcal{H}_N \oplus \dots$$

$\uparrow$  Vakuum

Wie beim Harmonischen Oszillator definieren wir für Bosonen

$$a_i^+ |n_1 \dots n_i \dots \rangle = \sqrt{n_i + 1} |n_1 \dots n_i + 1 \dots \rangle$$

$$a_i^- |n_1 \dots n_i \dots \rangle = \sqrt{n_i} |n_1 \dots n_i - 1 \dots \rangle$$

$$\Rightarrow a_i^+ a_i^- | \dots n_i \dots \rangle = n_i | \dots n_i \dots \rangle$$

$$a_i^- a_i^+ | \dots n_i \dots \rangle = (n_i + 1) | \dots n_i \dots \rangle$$

$$\Rightarrow [a_i^+, a_j^+] = \delta_{ij} [a_i^-, a_j^-] = [a_i^+, a_j^-] = 0 \quad \text{Bose-Algebra}$$

außerdem sind  $a_i^-$  und  $a_i^+$  zueinander konjugiert:

$$\begin{aligned} \langle n_\alpha' | a_\alpha^- | n_\alpha \rangle &= \sqrt{n_\alpha} \delta_{n_\alpha', n_\alpha - 1} \\ &= \sqrt{n_\alpha + 1} \delta_{n_\alpha' + 1, n_\alpha} = \langle n_\alpha | a_\alpha^+ | n_\alpha' \rangle^* \end{aligned} \quad (6)$$

Vakuum: normierter Zustand ohne Teilchen

$$|\text{Vac}\rangle \in \mathcal{H}_0 \quad |\text{Vac}\rangle = |0,0,\dots,0\rangle \Rightarrow \langle \text{Vac} | \text{Vac}\rangle = 1$$

$$\alpha_i |\text{Vac}\rangle = 0 \quad (\text{Nullvektor } 0 \cdot |0\rangle \neq |0\rangle ?)$$

so können wir jede WF / Besetzungszahl darst. schreiben als

$$|n_1, n_2, \dots, n_i, \dots\rangle = \prod_i \frac{1}{\sqrt{n_i!}} (\alpha_i^\dagger)^{n_i} |0\rangle$$

statt  $|\text{Vac}\rangle$  ist manchmal auch der (Dirac)-Fermi-See Ausgangspunkt.

Darstellung von Ein-Eteilchenoperator in 2. Quantisierung

$$F^{(1)} = f_1^{(1)} + f_2^{(1)} + \dots + f_N^{(1)} = \sum_j f_j^{(1)} \quad \text{z.B. } f_1 = V(\vec{r}_1)$$

$$\begin{aligned} \text{Matrix-Elemente in } \mathcal{B}_1: \quad & f_{\alpha'}^{\alpha} = \langle \varphi_{\alpha'} | f^{(1)} | \varphi_{\alpha} \rangle \quad \text{Teilchen} \\ & \Rightarrow f_i = \sum_{\alpha \alpha'} f_{\alpha' \alpha}^{(1)} \langle \varphi_{\alpha'} | \varphi_{\alpha} \rangle \langle \varphi_{\alpha} | i \rangle \\ & \text{bzw. } F^{(1)} = \sum_{\alpha \alpha'} f_{\alpha' \alpha}^{(1)} \sum_{i=1}^N \langle \varphi_{\alpha'} | \varphi_{\alpha} \rangle \langle \varphi_{\alpha} | i \rangle \end{aligned}$$

nun Darstellung mit  $\alpha, \alpha^\dagger$ :

$$\begin{aligned} & \sum_{i=1}^N \langle \varphi_{\alpha'} | \varphi_{\alpha} \rangle \langle \varphi_{\alpha} | i \rangle \quad |n_1, \dots, n_{\alpha}, \dots, n_{\alpha'}, \dots \rangle \\ & = \sum_{i=1}^N \langle \varphi_{\alpha'} | \varphi_{\alpha} \rangle \langle \varphi_{\alpha} | i \rangle \frac{1}{\sqrt{N! n_1! n_2! \dots}} \sum_p p_i \langle \varphi_{\alpha_1} | \varphi_{\alpha_2} | \dots | \varphi_{\alpha_N} \rangle \quad \text{gleiche Besetzung} \\ & = \sum_p \frac{1}{\sqrt{N! n_1! n_2! \dots}} p_i \sum_{i=1}^N \langle \varphi_{\alpha'} | \varphi_{\alpha} \rangle \langle \varphi_{\alpha} | i \rangle \quad |\varphi_{\alpha_1} \rangle \langle \varphi_{\alpha_2} | \dots \langle \varphi_{\alpha_N} | = 0 \\ & \text{gilt, da } \sum_i \langle \varphi_{\alpha} | \varphi_{\alpha'} | \rangle \text{ alle Teilräume symmetrisch berücksichtigt!} \end{aligned}$$

Wirkung von  $\sum_{i=1}^N \langle \varphi_{\alpha'} | \varphi_{\alpha} \rangle \langle \varphi_{\alpha} | i \rangle$  auf  $|\varphi_{\alpha_1} \dots \varphi_{\alpha_N} \rangle$

- Falls für ein  $k$   $\alpha_k = \alpha$  wird  $\alpha_k$  durch  $\alpha'$  ersetzt.
- somit  $\sum_i \langle \varphi_{\alpha} | \varphi_{\alpha'} | \rangle \langle \varphi_{\alpha_1} | \dots | \varphi_{\alpha_N} \rangle = 0$

Es wird immer nur eine Quantenzahl verändert

$$\Rightarrow \# = \sqrt{n_{\alpha}} \sqrt{n_{\alpha'} + 1} \quad |n_{\alpha'} (n_{\alpha} + 1) (n_{\alpha} - 1) \rangle \quad (7)$$

oder mit  $a_i, a_i^+$

$$\textcircled{1} = a_{\alpha'}^+ a_{\alpha} | \text{vac} \rangle \langle \text{vac} | \text{vac} \rangle \langle \text{vac}| \rightarrow$$

$$\Rightarrow \sum_{i=1}^N \langle \psi_{\alpha'} | \psi_{\alpha} \rangle_i = a_{\alpha'}^+ a_{\alpha}$$

bzw.

$$F^{(1)} = \sum_{\alpha' \alpha} f_{\alpha' \alpha}^{(1)} a_{\alpha'}^+ a_{\alpha}$$

z.B. kinetische Energie im Impulsraum

$$T = \sum_{\vec{p}} \frac{p^2}{2m} a_{\vec{p}}^+ a_{\vec{p}}$$

äußeres Potential

$$V = \int d^3r V(\vec{r}) a_{\vec{p}}^+ a_{\vec{p}}$$

Zweiteilchen Operator:

$$F^{(2)} = \sum_{i \neq j} f_{i,j}^{(2)} \quad f_{i,j}^{(2)} = \sum_{\alpha_1 \alpha_2 \alpha_3 \alpha_4} \underbrace{f_{\alpha_1 \alpha_2 \alpha_3 \alpha_4}^{(2)}}_{\text{ausg w. wie } F^{(1)}} | \alpha_3 \rangle \langle \alpha_4 |$$

ausg w. wie  $F^{(1)}$

$$\Rightarrow F^{(2)} = \sum_{\alpha_1 \alpha_2 \alpha_3 \alpha_4} f_{\alpha_1 \alpha_2 \alpha_3 \alpha_4}^{(2)} a_{\alpha_1}^+ a_{\alpha_2}^+ a_{\alpha_3}^+ a_{\alpha_4}^+$$

z.B.

$$F^{(2)} = \frac{1}{2} \sum_{i \neq j} U(|\vec{r}_i - \vec{r}_j|) \quad \begin{aligned} & \text{1. Quantisierung} \\ & = \frac{1}{2} \int d^3r d^3r' q^+(\vec{r}) q^+(\vec{r}') U(|\vec{r} - \vec{r}'|) q(\vec{r}') q(\vec{r}) \end{aligned}$$

2. Quantisierung

Fermionen:

Produktdarstellung

$$a_1^+ a_2^+ | \text{vac} \rangle \hat{=} \frac{1}{2} [f_2(\vec{r}_1) f_1(\vec{r}_2) - f_1(\vec{r}_1) f_2(\vec{r}_2)]$$

$$= -a_2^+ a_1^+ | \text{vac} \rangle \hat{=} \frac{1}{2} [f_1(\vec{r}_1) f_2(\vec{r}_2) - f_2(\vec{r}_1) f_1(\vec{r}_2)]$$

$$\Rightarrow a_i^+ a_j^+ + a_j^+ a_i^+ = 0 \quad a_i a_j + a_j a_i = 0$$

insbesondere  $a_i^+ a_i^+ = 0 \Rightarrow$  keine Doppelbesetzung!

Außerdem  $a_i a_j^+ + a_j^+ a_i = \delta_{ij}$

0 für  $i \neq j$

1 für  $i = j$  da  
zuvor  $i$  besetzt oder  
unbesetzt

\textcircled{8}

$\Rightarrow$  Fermi-Algebra

$$[a_i, a_j^\dagger] = a_i a_j^\dagger + a_j^\dagger a_i = \delta_{ij}$$

$$[a_i, a_j] = [a_i^\dagger, a_j^\dagger] = 0$$

$$\text{bei } |n_1, n_2, \dots\rangle = (a_1^\dagger)^{n_1} \dots (a_i^\dagger)^{n_i} \dots |vac\rangle$$

ist daher beliebige aber fixe Reihenfolge einzuhalten  
Analog zu Bosonen

$$F^{(1)} = \sum_{\alpha\alpha'} f_{\alpha'\alpha}^{(1)} a_{\alpha'}^\dagger a_\alpha$$

$$F^{(2)} = \sum_{\alpha_1\alpha_2\alpha_3\alpha_4} f_{\alpha_1\alpha_2\alpha_3\alpha_4}^{(2)} a_{\alpha_1}^\dagger a_{\alpha_2}^\dagger a_{\alpha_3}^\dagger a_{\alpha_4}$$

Entsprechend werden in der Quantenfeldtheorie auch die elektromagnetischen Felder quantisiert (als Bosonen)

$$\vec{A}(\vec{r}, t) = \sum_{\vec{k}} \sqrt{\frac{2\pi\hbar c^2}{L^3\omega}} \left( \vec{a}_{\vec{k}} e^{i(\vec{k}\vec{r} - \omega t)} + \vec{a}_{\vec{k}}^\dagger e^{-i(\vec{k}\vec{r} - \omega t)} \right)$$

### Fermi-Dirac-Statistik

WW-freier Hamiltonian Zustandssumme  $H_0 = \sum_{k\sigma} \epsilon_{k\sigma} c_{k\sigma}^\dagger c_{k\sigma}$

$$Z = \text{Tr } e^{-\beta(H_0 - \mu \hat{N})}$$

Großkanonisches Ensemble  $\beta = \frac{\hbar k_B T}{\epsilon}$

$$\begin{aligned} &= \sum_{n_1, n_2, \dots} \langle n_1, n_2, \dots | e^{-\beta} \sum_{k\sigma} (\epsilon_{k\sigma} - \mu) c_{k\sigma}^\dagger c_{k\sigma} | n_1, n_2, \dots \rangle \\ &= \prod_{k=1}^{\infty} \sum_{n_k=0}^1 e^{-\beta(\epsilon_{k\sigma} - \mu) \cdot n_k} = \prod_{k=1}^{\infty} [1 + e^{\beta(\mu - \epsilon_{k\sigma})}] \end{aligned}$$

Teilchenzahl

$$\begin{aligned} \langle \hat{N} \rangle &= \langle \sum_{k\sigma} \underbrace{c_{k\sigma}^\dagger c_{k\sigma}}_{\text{Besetzungszahl-Operator}} \rangle = k_B T \frac{\partial}{\partial \mu} \ln Z \\ &= k_B T \sum_{k=1}^{\infty} \frac{\partial}{\partial \mu} \ln [1 + e^{\beta(\mu - \epsilon_{k\sigma})}] \\ &= \sum_k \underbrace{\frac{1}{1 + e^{\beta(\mu - \epsilon_{k\sigma})}}}_{\tilde{n}_k} \\ \text{Analog für Bosonen} \quad \tilde{n}_k &= \frac{1}{1 + e^{\beta(\epsilon_{k\sigma} - \mu)}} \quad \text{Fermi-Dirac-Distribution} \quad (9) \end{aligned}$$

Beispiel: H<sub>2</sub> Moleköl

H-Atome seien als fix angesehen werden,  
da sehr viel schwerer als Elektronen

## 1. Quantisierung

H-Atome weit voneinander entfernt  $\Rightarrow$  Lösung ist separierte Wasserstoffeigenfunktionen um Atom  $i=1,2 : \Psi_i$

Beschränkung auf Grundzustand  $\varepsilon_0 = \varepsilon$  und Energien  $E_\alpha$   
in 2. Quantisierung

$$H_0 = \sum_{\sigma} \epsilon_{\sigma} c_{1\sigma}^+ c_{1\sigma} + \sum_{\sigma} \epsilon_{\sigma} c_{2\sigma}^+ c_{2\sigma}$$

Atom 1                          Atom 2

Jetzt bringen wir die Atome näher zusammen  $\Rightarrow$  Überlapp der WF  
 $-E \equiv \langle \psi_0^2 | H_0 | \psi_0^2 \rangle$  Grundzustand  
 (tight binding Näherung)

$$= D \quad H_0 = \epsilon_0 \sum_{\substack{i=1 \\ \sigma}}^2 c_{i\sigma}^+ c_{i\sigma} - \epsilon \sum_{\sigma} (c_{1\sigma}^+ c_{2\sigma} + c_{2\sigma}^+ c_{1\sigma})$$

(auch  $E_0$  wird leicht modifiziert; dies führt aber nicht zu neuer Physik)

Zusätzlich Coulomb- $U_W$  zwischen den Elektronen (hier Näherungsweise nur für zwei Elektronen angreichen Atom, was O.K. für große Abstände ist)

$$= D \quad H = H_0 + U C_{1A}^+ C_{1A} C_{1B}^+ C_{1B} + U C_{2A}^+ C_{2A} C_{2B}^+ C_{2B}$$

Verallgemeinerung auf beliebig viele Atome: Hubbard-Modell

$$H = -t \sum_{\langle i,j \rangle \sigma} c_i^+ c_j^- + U \sum_i c_{i\uparrow}^+ c_{i\uparrow}^- c_{i\downarrow}^+ c_{i\downarrow}^-$$

nur nächste  
Nachbar gitterp. Cäkse

## Lösung für 1 Elektron ( $H_2^+$ -Moleköl; kein Effekt von $\psi$ )

Nanoflavian als Matrix mit Elementen  $\varepsilon_{0ij}$

$$\langle \text{Vac} | c_{j\sigma}^\dagger | H | c_{i\sigma} | \text{Vac} \rangle = \delta_{ii'} \underbrace{\langle \text{Vac} | \epsilon_g c_{j\sigma} \sum_k c_{k\sigma}^\dagger c_{k\sigma} c_{i\sigma} | \text{Vac} \rangle}_{-\infty (1 - \delta_{ij})} \quad (10)$$

oder als Matrix

Beachte: wir rechnen jetzt mit  
Fermi-Algebra statt WF

$$c_{1\sigma}^{\dagger} |vac\rangle - c_{2\sigma}^{\dagger} |vac\rangle$$

$$\begin{pmatrix} \varepsilon_0 & -\epsilon \\ -\epsilon & \varepsilon_0 \end{pmatrix} \Rightarrow \text{Energie Eigenwerte } E = \varepsilon_0 \pm \epsilon$$

(chemische Bindung)

$$\varepsilon_0 - \epsilon \quad \varepsilon_0 + \epsilon$$

Atom 1 Moleköl Atom 2

bindendes/anti-  
bindendes Orbital

$$\frac{1}{\sqrt{2}} (c_{1\sigma}^{\dagger} + c_{2\sigma}^{\dagger}) |vac\rangle \quad \frac{1}{\sqrt{2}} (c_{1\sigma}^{\dagger} - c_{2\sigma}^{\dagger}) |vac\rangle$$

Jetzt 2-Elektronen  $[L_z, H] = 0$   $L_z = \frac{1}{2} \sum_i (c_{i\uparrow}^{\dagger} c_{i\uparrow} - c_{i\downarrow}^{\dagger} c_{i\downarrow})$

$\Rightarrow$  EF können als EF von  $L_z$  gewählt werden

zunächst:  $L_z = +\frac{1}{2} (b \omega - \frac{1}{2})$

$$\Rightarrow c_{1\uparrow}^{\dagger} c_{2\uparrow}^{\dagger} |vac\rangle \quad (\text{einzige Möglichkeit, da nur ein Orbital pro Atom})$$

$$H c_{1\uparrow}^{\dagger} c_{2\uparrow}^{\dagger} |vac\rangle = 2 \varepsilon_0$$

$$\text{analog: } H c_{1\downarrow}^{\dagger} c_{2\downarrow}^{\dagger} |vac\rangle = 2 \varepsilon_0$$

nun  $L_z = 0$

$$\Rightarrow c_{1\uparrow}^{\dagger} c_{2\downarrow}^{\dagger} |vac\rangle \quad c_{1\downarrow}^{\dagger} c_{2\uparrow}^{\dagger} |vac\rangle \quad c_{1\uparrow}^{\dagger} c_{1\downarrow}^{\dagger} |vac\rangle \quad c_{2\uparrow}^{\dagger} c_{2\downarrow}^{\dagger} |vac\rangle$$

(4 Möglichkeiten)

in dieser Basis hat  $H$  folgende Matrix-Form

$$H = \begin{pmatrix} 2\varepsilon_0 & -\epsilon & -\epsilon & 0 \\ -\epsilon & 2\varepsilon_0 + \epsilon & 0 & \epsilon \\ -\epsilon & 0 & 2\varepsilon_0 + \epsilon & \epsilon \\ 0 & \epsilon & \epsilon & 2\varepsilon_0 \end{pmatrix} \quad (11)$$

z.B. Matrix-Element

$$\textcircled{1} = \langle \text{Vac} | c_{2\downarrow} c_{1\uparrow} | H | c_{1\uparrow}^+ c_{2\downarrow}^+ | \text{Vac} \rangle$$

$$= \langle \text{Vac} | \underbrace{c_{2\downarrow} c_{1\uparrow} (-\epsilon c_{2\downarrow}^+ c_{1\downarrow})}_{(-\epsilon) - c_{2\downarrow}^+ c_{1\uparrow}} \underbrace{c_{1\uparrow}^+ c_{2\downarrow}}_{-c_{1\uparrow}^+ c_{2\downarrow}^+ c_{1\downarrow}^+} | \text{Vac} \rangle = -\epsilon$$

$$\underbrace{1 - c_{1\downarrow}^+ c_{1\downarrow}}_{=0 \text{ auf } |\text{Vac}\rangle}$$

$$\textcircled{2} = \langle \text{Vac} | c_{2\uparrow} c_{1\downarrow} (-\epsilon c_{1\downarrow}^+ c_{2\uparrow}) \underbrace{c_{2\uparrow}^+ c_{2\downarrow}^+}_{-c_{2\uparrow}^+ c_{2\downarrow}} | \text{Vac} \rangle = \epsilon$$

Eigenwerte von  $\underline{\mathbf{L}}$ :

$$E_1 = 2\varepsilon_0 \quad \text{wie } \ell_2 = \pm \hbar \quad \text{dies ist der 3. Zustand des Triplets: } \frac{1}{2}[c_{1\uparrow}^+ c_{2\downarrow}^+ + c_{1\downarrow}^+ c_{2\uparrow}^+]$$

$$E_2 = 2\varepsilon_0 + U$$

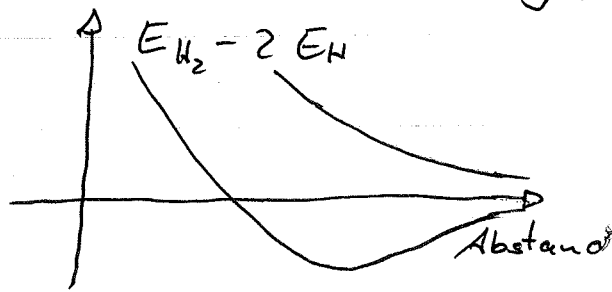
$$E_3 = 2\varepsilon_0 + \frac{1}{2}(U + \sqrt{U^2 + 16\epsilon^2}) \approx U + \frac{4\epsilon^2}{U} \quad \text{für } \epsilon \ll U$$

$$E_4 = 2\varepsilon_0 + \frac{1}{2}(U - \sqrt{U^2 + 16\epsilon^2}) \approx -\frac{4\epsilon^2}{U} \quad \text{dies ist der Grundzustand singulett } \frac{1}{2}[c_{1\uparrow}^+ c_{2\downarrow}^+ - c_{1\downarrow}^+ c_{2\uparrow}^+]$$

mit Leichten (für  $\epsilon \ll U$ ) Beimischungen oder Doppelbesetzungen  $c_{1\uparrow}^+ c_{1\downarrow}^+$

Beachte: Der Grundzustand hat antiparallelen Elektronenspin und ist negativ (relativ zu  $2\varepsilon_0$ )  
 $\Rightarrow$  Bindung zweier H-Atome zu  $H_2$  Moleköl

Für kleinere Abstände werden zusätzliche Coulomb-Terme wichtig, insgesamt:



Die Tatsache, dass das Singulett eine um  $-\frac{4\epsilon^2}{U}$  niedrigere Energie hat, lässt sich auch schreiben als Heisenberg-Mat

$$H = \sum_{i=1}^2 \vec{S}_i \cdot \vec{S}_2 \quad \textcircled{12}$$